



**WYDZIAŁ  
ELEKTROTECHNIKI  
I INFORMATYKI**  
POLITECHNIKI RZESZOWSKIEJ

**Kamil Madej**

Analiza i interpretacja wybranych metod całkowania  
numerycznego

**Praca dyplomowa inżynierska**

Opiekun pracy:

(dr. inż) Mariusz Borkowski (prof. PRz)

Rzeszów, 2022



# Spis treści

|                                                   |           |
|---------------------------------------------------|-----------|
| <b>1. Wstęp/wprowadzenie</b>                      | <b>5</b>  |
| <b>2. Metody całkowania numerycznego</b>          | <b>6</b>  |
| 2.1. Metody Newtona-Cotesa                        | 6         |
| 2.1.1. Metoda prostokątów                         | 7         |
| 2.1.2. Metoda trapezów                            | 7         |
| 2.1.3. Metoda Simpsona                            | 9         |
| 2.2. Kwadratury Gaussa                            | 9         |
| 2.2.1. Gauss Legrande                             | 10        |
| 2.3. Metody adaptacyjne                           | 11        |
| 2.4. Metody Monte Carlo                           | 12        |
| 2.4.1. Crude Monte Carlo                          | 12        |
| 2.4.2. Monte Carlo                                | 13        |
| <b>3. Błędy bezwzględne w metodach całkowania</b> | <b>13</b> |
| <b>4. Bibliotek do całkowania numerycznego</b>    | <b>14</b> |
| 4.1. Przykład użycia biblioteki                   | 16        |
| 4.1.1. Metoda prostokątów                         | 16        |
| 4.1.2. Metoda trapezów                            | 20        |
| 4.1.3. Metoda Simpsona                            | 23        |
| 4.1.4. Metoda Gaussa Legendre’a                   | 25        |
| 4.1.5. Metoda adaptacyjna trapezów                | 27        |
| 4.1.6. Metoda Crude Monte Carlo                   | 30        |
| 4.1.7. Metoda Monte Carlo                         | 32        |
| <b>5. Podsumowanie i wnioski końcowe</b>          | <b>33</b> |
| <b>Załączniki</b>                                 | <b>35</b> |
| <b>Literatura</b>                                 | <b>36</b> |



# 1. Wstęp/wprowadzenie

Całkowanie numeryczne, zwane też kwadraturą to szeroka rodzina algorytmów służących do obliczania liczbowej wartości całki oznaczonej. Przy pomocy kwadratur problemy matematyczne są formułowane w taki sposób, że można je rozwiązać przy pomocy operacji arytmetycznych.

Podstawowym problemem całkowania numerycznego jest obliczenie przybliżonego rozwiązania całki oznaczonej

$$\int_a^b f(x)dx \tag{1.1}$$

z pewnym stopniem dokładności

Do uzyskania tego celu opracowanych zostało wiele algorytmów. Najpopularniejsze z nich zostały bliżej omówione w rozdziale 2.

## Cel całkowania numerycznego

Istnieje wiele przypadków gdy całkowanie numeryczne jest lepszym rozwiązaniem niż całkowanie analityczne lub jedynym rozwiązaniem:

- gdy całka z funkcji  $f(x)$  znana jest jedynie dla pojedynczych punktów, na przykład w przypadku próbkowania
- gdy wzór całki jest znany, ale znalezienie funkcji pierwotnej jest bardzo skomplikowane lub nie możliwe do zrobienia. Przykładem takiej funkcji jest  $f(x) = \exp(-x^2)$
- gdy znalezienie funkcji pierwotnej jest możliwe analitycznie, ale obliczenie numeryczne jest prostsze. Taki przypadek może wystąpić, gdy funkcja pierwotna jest dana jako nieskończony szereg lub iloczyn.

[1]

## 2. Metody całkowania numerycznego

Istnieje wiele sposobów na obliczanie pola powierzchni pod krzywą przy pomocy metod numerycznych. Do dwóch najbardziej popularnych i poruszanych w tej pracy należą:

1) Kwadratury bazujące na interpolowaniu funkcji

- Metody Newtona-Cotesa
- Kwadratury Gaussa
- Metody adaptacyjne

2) Kwadratury bazujące na próbkowaniu funkcji

- Metody Monte Carlo

### 2.1. Metody Newtona-Cotesa

W analizie matematycznej, metodami Newtona-Cotesa, nazywamy grupę metod do całkowania numerycznego, które bazują na oszacowaniu wartości całki na skończonym przedziale, przy użyciu interpolacji wielomianem odpowiedniego stopnia, wyznaczając  $n + 1$  równo rozmieszczonych punktów, które dzielą przedział całkowania na  $n$  podprzedziałów. [2]

Metodę Newtona-Cotesa dla  $n + 1$  punktów można zdefiniować jako:

$$\int_a^b f(x)dx \approx \sum_{i=0}^n w_i f(x_i) \quad (2.2)$$

gdzie  $x_i$  jest zbiorem równo rozmieszczonych punktów z przedziału  $[a, b]$

a  $w_i$  jest zbiorem wag

W metodzie Newtona-Cotesa wagi poszczególnych węzłów otrzymywane są poprzez interpolację wielomianem Lagrange'a:

$$\int_a^b f(x)dx \approx \int_a^b p(x)dx = \int_a^b \sum_{i=0}^n f_i L_{n,j}(x)dx = \sum_{i=0}^n \left( \int_a^b L_{n,j}(x)dx \right) f_i = \sum_{i=0}^n w_i f_i \quad (2.3)$$

[3]

### 2.1.1. Metoda prostokątów

Metoda prostokątów to najprostszy wariant metody Newtona-Cotesa gdzie całkę  $\int_a^b f(x)$  przybliżamy przy użyciu interpolacji wielomianem Lagrange'a stopnia 1. Dla pojedynczego podprzedziału metoda prostokątów wygląda następująco:

$$\int_a^b f(x) = I = f(a) * h \quad (2.4)$$

dla n podprzedziałów metoda prostokątów przybiera formę:

$$\int_a^b f(x) = h * \sum_{i=0}^{n-1} f(x_i) \quad (2.5)$$

gdzie h jest szerokością pojedynczego podprzedziału i równa się  $h = \frac{b-a}{n}$  [4]

Listing 1 pokazuje przykładowy kod w języku Python implementujący metodą trapezów.

```
1 import numpy as np
2
3 def f_rectI(f,a,b,n):
4     h = (b - a) / n
5
6     X = np.linspace(a + 0.5 * h, b - 0.5 * h, num=n)
7
8     Y = []
9     for i in range(0, n):
10         Y.append(f(X[i]))
11
12     Y = np.array(Y)
13
14     I = h * Y
15     I = np.sum(I)
16     return I
```

Listing 1: Kod w języku python implementujący metodę prostokątów

### 2.1.2. Metoda trapezów

Metoda trapezów to kolejny wariant metody Newtona-Cotesa, w którym całkę  $\int_a^b f(x)$  przybliżamy przy użyciu wielomianu Lagrange'a stopnia 2. Dla pojedynczego

podprzedziału metoda trapezów wygląda następująco:

$$\int_a^b f(x) = \frac{1}{2} * h[f(a) + f(b)] \quad (2.6)$$

dla n podprzedziałów metoda prostokątów przybiera formę:

$$\int_a^b f(x) = \frac{1}{2} \sum_{i=0}^n [f(x_i) + f(x_{i+1})] \quad (2.7)$$

Listing 2 pokazuje przykładowy kod w języku Python implementujący metodę trapezów.

```
1 import numpy as np
2
3
4 def f_trapI(f, a, b, n):
5     h = (b - a) / n
6
7     X = np.linspace(a, b, num=n + 1)
8
9     Y = []
10    for i in range(0, n + 1):
11        Y.append(f(X[i]))
12
13    Y = np.array(Y)
14
15    I = []
16    for i in range(0, n + 1):
17        if i == 0 or i == n:
18            I.append(h * Y[i] / 2)
19        else:
20            I.append(h * Y[i])
21
22    I = np.sum(I)
23    return I
```

Listing 2: Kod w języku python implementujący metodę trapezów



### 2.1.3. Metoda Simpsona

Metoda Simpsona zwana też metodą parabol, to kolejny wariant metody Newtona-Cotesa. Tym razem całkę  $\int_a^b f(x)$  przybliżamy przy użyciu wielomianu Lagrange'a stopnia 3, czyli paraboli.

Dla pojedynczego podprzedziału metoda trapezów wygląda następująco:

$$\int_a^b f(x) = \frac{1}{3} * h[f(a) + 4f(a+h) + f(a+2h)] \quad (2.8)$$

dla n podprzedziałów metoda prostokątów przybiera formę:

$$\int_a^b f(x) = \frac{1}{2}h[f(a) + f(b)] + \sum_{i=1,3,5}^{n-1} 4f(x_i) + \sum_{i=2,4,6}^{n-2} f(x_i) \quad (2.9)$$

Listing 3 pokazuje przykładowy kod w języku Python implementujący metodą simpsona.

```
1
2 def f_simp2I(f,a,b,n):
3
4     h = (b-a)/n
5
6     I = f(a) + f(b)
7
8     for i in range(1,n):
9         if i%2==1:
10             I += 4 * f(a + i*h)
11         else:
12             I += 2 * f(a + i*h)
13
14     I = h/3 * I
15     return I
```

Listing 3: Kod w języku python implementujący metodę simpsona

## 2.2. Kwadratury Gaussa

Kwadratury Gaussa to metody numeryczne służące do przybliżania skończonych całek, najczęściej określane jako ważona suma wartości funkcji w określonych punktach dziedziny całkowania. Całkowanie metodą Gauss'a opiera się na użyciu wielomianów to

przybliżenia funkcji podcałkowej  $f(x)$  na przedziale  $[-1,1]$ , poprzez użycie odpowiednich węzłów  $x_i$  oraz wag  $w_i$ .

$$\int_{-1}^1 f(x)dx \approx \sum_{i=1}^n w_i f(x_i) \quad (2.10)$$

Dokładność i optymalność wyniku całkowania zależy od odpowiedniego wyboru wielomianu interpolacyjnego. Użycie wielomianów Legendre’a całkowanie metodą Gaussa daje dokładny wynik dla wielomianów stopnia  $2n - 1$  lub niższego.

### 2.2.1. Gauss Legrande

Kwadratura Gaussa-Legendre’a jest specjalny przypadek kwadratury Gaussa, która pozwala na efektywne przybliżenie funkcji ze znanym zachowaniem asymptotycznym na brzegach przedziału całkowania. Kwadratura Gaussa jest szczególnie zalecana, jeśli całka jest holomorficzna w sąsiedztwie przedziału całkowania.

Węzły  $x_i$  są pierwiastkami wielomianu Legendre’a  $P(x)$  stopnia  $n$ . Nie istnieje prosty sposób wyznaczenia pierwiastków  $x_i$ , mogą one jednak zostać aproksymowane z dużą dokładnością przy użyciu wzoru:

$$x_i \approx \cos\left(\pi \frac{\frac{1}{2} + i}{N}\right) \quad (2.11)$$

Wagi  $w_i$  można wyrazić wzorem:

$$w_i = \frac{2(1-x_i^2)}{[nP_{n-1}(x_i)]^2} = \frac{2}{[P_n'(x_i)]^2} \quad (2.12)$$

[5]

Listing 4 pokazuje przykładowy kod w języku Python implementujący kwadraturę Gauss Legendre’a.

```

1
2 import numpy as np
3
4 def f_gauss_legrande(f,a,b,n):
5     half = float(b-a)/2
6     mid = (a+b)/2
7     [t,w] = np.polynomial.legendre.leggauss(n)
8
9     I = 0

```

```

10     for i in range(n):
11         I += w[i] * f(mid+half*t[i])
12
13     I *= half
14
15     return I

```

Listing 4: Kod w języku python implementujący metodę simpsona

### 2.3. Metody adaptacyjne

Tradycyjne metody całkowania Newtona-Cotesa, ignorują fakt, że całkowana funkcja posiada regiony o dużej, jak i małej zmienności. Metody adaptacyjne rozwiązują ten problem poprzez dostosowanie wielkości podprzedziałów, na mniejsze, w miejscach gdzie funkcja zmienia się gwałtownie i większe, w miejscach o mniejszej zmienności.[6]

Metody adaptacyjne polegają na wykorzystaniu tradycyjnych metod całkowania takich jak: Metoda Simpsona, trapezów do obliczenia całki na przedziale  $[a, b]$  aadaną dokładnością  $\xi$ . Jeśli po pierwszej iteracji wartość całki nie jest dostatecznie dokładna, to przedział dzielimy na połowy, i ponownie całkujemy każdą z otrzymanych połówek. Proces ten powtarzamy do uzyskania zadanej dokładności.[7]

Całkowita wartość całki jest obliczana jako suma przybliżeń całki na wszystkich podprzedziałach.

Na przykładzie metody trapezów adaptacyjna metoda wygląda następująco Przedziale  $[a, b]$  jest dzielona na  $n$  podprzedziałów  $[a_j, b_j]$ , dla  $j = 0, 1, \dots, n-1$ , a następnie dla każdego podprzedziału obliczana jest całka według wzoru:

$$I_j(f) = \int_{a_j}^{b_j} f(x) dx \quad (2.13)$$

Powyższe podejście nie różni się niczym od klasycznej metody trapezów, jednak w metodach adaptacyjnych podprzedział  $[a_j, b_j]$  jest dzielony na pół, gdy wartość  $I_j(f)$  nie została obliczona z adadaną dokładnością. Do ustalenia dokładności, używamy kwadratur na przedziale  $[a_j, b_j]$ , by uzyskać przybliżenie  $I_{1j}$ , a następnie całkujemy funkcję dzieląc przedział  $[a_j, b_j]$  na dwa podprzedziały, by obliczyć drugie przybliżenie  $I_2$ . Jeśli  $I_1$  oraz  $I_2$  są dostatecznie zbliżone, wtedy możemy stwierdzić, że przybliżenie jest wystarczające i nie ma potrzeby dalszego dzielenia  $[a_j, b_j]$ . W przeciwnym przypadku

dzielimy  $[a_j, b_j]$  na dwa podprzedziały i powtarzamy proces ponownie. Używamy tej techniki na wszystkich podprzedziałach tak długo, aż funkcja podcałkowa  $f$  zostanie przybliżona zadaną dokładnością.[8]

Listing 5 pokazuje przykładowy kod w języku Python implementujący adaptacyjną metodę trapezów.

```
1
2 def f_trapI(f, xa, xb):
3     h = xb-xa
4     I = h*(f(xa) + f(xb))/2
5     return I
6
7 def f_adapt(f, ax, bx, tol):
8     m = (ax+bx)/2.0
9     P1 = f_trapI(f, ax, m)
10    P2 = f_trapI(f, m, bx)
11
12    if abs(P1 - P2) < 3 * tol:
13        return P2
14    else:
15        return f_adapt(f, ax, m, tol/2) + f_adapt(f, m, bx, tol)
```

Listing 5: Kod w języku python implementujący metodę simpsona

## 2.4. Metody Monte Carlo

Metoda Monte Carlo to zupełnie odmienne od metod Newtona Cotesa oraz metod Gaussa podejście do obliczania wartości całki. Polega ona na obliczaniu pola powierzchni pod krzywą używając losowo rozmieszczonych punktów w obrębie granic całkowania.

Istnieją dwa rodzaje metod Monte Carlo.

### 2.4.1. Crude Monte Carlo

Podstawowa metoda Monte Carlo, zwana też Crude Monte Carlo polega ona na wylosowaniu  $n$  punktów w obrębie przedziału całkowania i na podstawie tych danych obliczenie średniej wartości funkcji. [10]

$$f_{sr} = \frac{f(x_1) + f(x_2) + \dots + f(x_n)}{n} \quad (2.14)$$

Przybliżoną wartość całki otrzymujemy dzieląc uzyskaną średnią wartość funkcji przez długość przedziału całkowania.

$$I = f_{sr} * |b - a| \quad (2.15)$$

### 2.4.2. Monte Carlo

Bardziej dokładną wersją jest metoda Monte Carlo, która polega na wylosowaniu  $n$  punktów znajdujących się w polu kwadratu, który wyznaczany jest przez przedział całkowania  $< a, b >$  oraz zakres wartości funkcji w tym przedziale  $< f(a), f(b) >$ . Po wylosowaniu  $n$  punktów wartość całki wyrażana jest jako:

$$I = P * \frac{c}{n} \quad (2.16)$$

gdzie  $c$  to ilość punktów leżących się pod krzywą.

Wraz ze zwiększaniem ilości losowanych punktów, rozkładają się one bardziej równomiernie w obrębie wyznaczonego prostokąta, dając coraz dokładniejszy wynik.[11]

## 3. Błędy bezwzględne w metodach całkowania

Błąd bezwzględny w metodzie prostokątów wyraża się wzorem:

$$E_R = f'(c) \int_a^b (t - a) dt = \frac{f'(c)}{2} (b - a)^2 \quad (3.17)$$

Błąd bezwzględny w metodzie trapezów u wyraża się wzorem:

$$E_T = -\frac{1}{12} f''(\xi) (b - a)^3 \quad (3.18)$$

gdzie  $\xi$  leży gdzieś w przedziale  $[a, b]$ . Równanie wskazuje, że jeśli całkowana funkcja jest liniowa, metoda trapezów będzie przybliżała funkcję dokładnie.

Błąd dla wielu złożonej metody trapezów może być uzyskany przez zsumowanie pojedynczych błędów w każdym segmencie

$$E_T = -\frac{(b - a)^3}{12n^3} \sum_{i=1}^n f''(\xi_i) \quad (3.19)$$

Według powyższego wzoru, jeśli ilość segmentów zostanie podwojona, błąd bezwzględny zostanie zmniejszony czterokrotnie.

Błąd bezwzględny metody Simpsona 1/3 dla pojedynczego segmentu ma postać

$$E_t = -\frac{(b-a)^5}{2880} f^4(\xi) \quad (3.20)$$

Metoda simpsona daje dokładny wynik dla wielomianów stopnia 3.

Podobnie jak metoda Trapezów, złożona metoda Simpsona, jest sumą indywidualnych błędów w poszczególnych segmentach

$$E_a = -\frac{(b-a)^5}{180n^4} \bar{f}^4(\xi) \quad (3.21)$$

gdzie  $\bar{f}^4$  jest średnią czwartą pochodną przedziału

Ogólny błąd dla kwadratury Gaussa- Legendre'a wyraża się wzorem:

$$E_t = \frac{2^{2n+3}[(n+1)!]^4}{(2n+3)[(2n+2)!]^3} f^{2n+2}(\xi) \quad (3.22)$$

gdzie  $n$  - liczba punktów minus jeden  $f^{2n+2}(\xi)$  -  $(2n+2)$  pochodna funkcji po zmianie zmiennej na  $\xi$  ulokowanej gdzieś w przedziale  $[-1,1]$ .

## 4. Bibliotek do całkowania numerycznego

Następne podrozdziały przedstawiają wyniki i omówienie działania zaimplementowanych przeze mnie metod całkowania dla równan (4.23) (4.24) (4.25). Dla metod całkowania, których logiką działania jest liczenie całki przez podział przedziału całkowania na podprzedziały, skuteczność metody wyrażana będzie w ilości podprzedziałów, na które musiał zostać podzielony przedział całkowania, by otrzymać dokładność przybliżenia rzędu 0.01 lub jeśli to możliwe, dokładną wartość całki. Dla metod Monte Carlo skuteczność liczona będzie ilością punktów potrzebnych do uzyskania zadowalającej dokładności. W adaptacyjnej metodzie trapezów miarą skuteczności będzie ilość wywołań funkcji, potrzebna do uzyskania zadanej dokładności przybliżenia funkcji.

Dokładność wszystkich metod całkowania zostanie zbadana na podstawie poniższych funkcji:

Funkcja wielomianowa

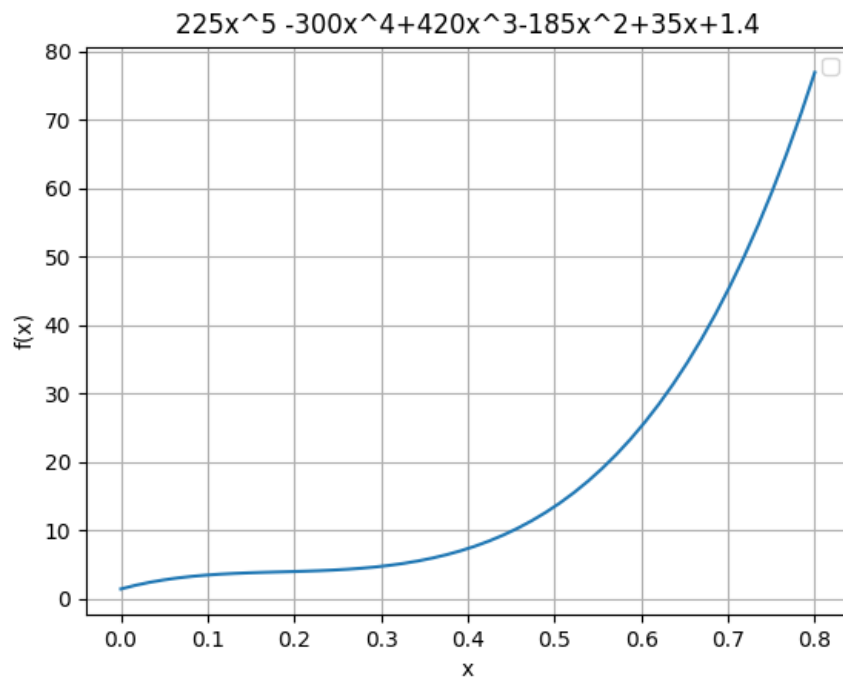
$$f(x) = 225x^5 - 300x^4 + 420x^3 - 185x^2 + 35x + 1.4 \quad (4.23)$$

Funkcja trygonometryczna

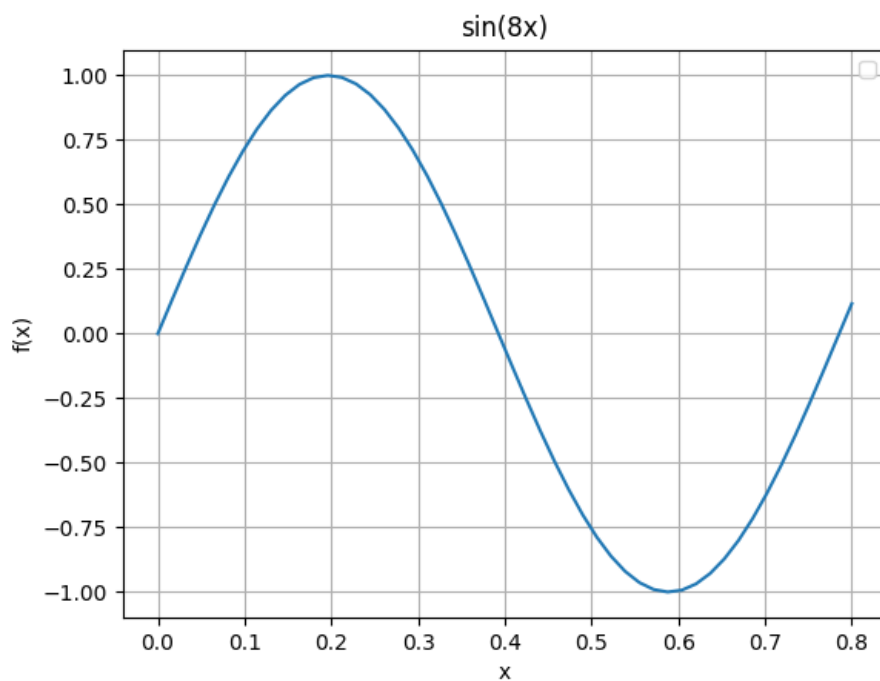
$$f(x) = \sin(8x) \quad (4.24)$$

Funkcja mieszana

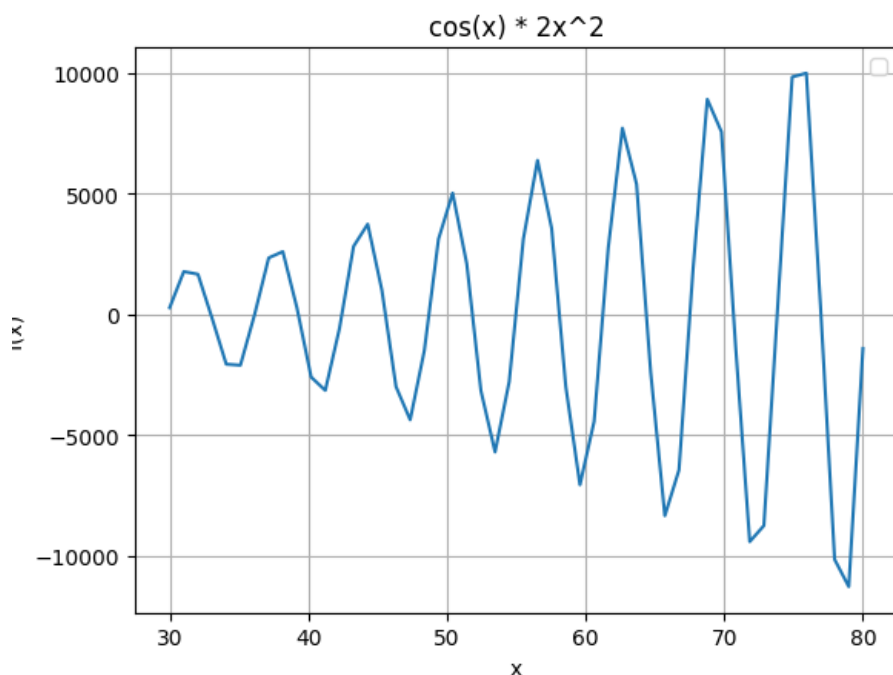
$$f(x) = \cos(2x + 2) + 13x^2 \quad (4.25)$$



Rysunek 4.1: Wykres funkcji zdefiniowanej wzorem(4.23)



Rysunek 4.2: Wykres funkcji zdefiniowanej wzorem(4.24)



Rysunek 4.3: Wykres funkcji zdefiniowanej wzorem(4.25)

## 4.1. Przykład użycia biblioteki

### 4.1.1. Metoda prostokątów

Funkcja implementująca metodę prostokątów, przyjmuje 4 parametry. Pierwszym parametrem jest badana funkcja, drugim początek dolny przedział całkowania, trzecim górny przedział całkowania, a ostatnim, ilość podprzedziałów na które dzielimy odcinek  $[a, b]$ . Metoda zwraca przybliżoną wartość całki.

Tabela (4.1) przedstawia dane otrzymane w wyniku działania implementacji metody Prostokątów dla funkcji (4.23) na przedziale  $[0, 0.8]$ . Pierwszą kolumną tabeli jest obliczona wartość całki, drugą ilość podprzedziałów dla danej iteracji, a trzecią błąd metody wyrażony jako różnica wartości całki obliczonej analitycznie i wartości obliczonej numerycznie.

Jak widać w tabeli początkowo dla pojedynczego podprzedziału błąd metody był bardzo duży i wynosił  $-8.08110$ . Wynika to z kształtu funkcji (4.23).

Do osiągnięcia założonej dokładności metoda prostokątów potrzebowała 31 podprzedziałów.

```
1 def f_rectI(f, a, b, n):
```



```
2     """
3     """
```

Listing 6: Kod w języku python implementujący metodę prostokątów

**Funkcja wielomianowa**

Tabela 4.1: Dane z iteracji w metodzie prostokątów dla funkcji wielomianowej

|    | Wartość całki | l.podp | Błąd      |
|----|---------------|--------|-----------|
| 0  | 5.843200      | 1      | -8.081100 |
| 1  | 11.635200     | 2      | -2.289100 |
| 2  | 12.884780     | 3      | -1.039520 |
| 3  | 13.335200     | 4      | -0.589100 |
| 4  | 13.545974     | 5      | -0.378326 |
| 5  | 13.661077     | 6      | -0.263223 |
| 6  | 13.730687     | 7      | -0.193613 |
| 7  | 13.775950     | 8      | -0.148350 |
| 8  | 13.807020     | 9      | -0.117280 |
| 9  | 13.829263     | 10     | -0.095037 |
| 10 | 13.845731     | 11     | -0.078569 |
| 11 | 13.858262     | 12     | -0.066038 |
| 12 | 13.868017     | 13     | -0.056283 |
| 13 | 13.875760     | 14     | -0.048540 |
| 14 | 13.882008     | 15     | -0.042292 |
| 15 | 13.887122     | 16     | -0.037178 |
| 16 | 13.891361     | 17     | -0.032939 |
| 17 | 13.894914     | 18     | -0.029386 |
| 18 | 13.897921     | 19     | -0.026379 |
| 19 | 13.900489     | 20     | -0.023811 |
| 20 | 13.902699     | 21     | -0.021601 |
| 21 | 13.904614     | 22     | -0.019686 |
| 22 | 13.906286     | 23     | -0.018014 |
| 23 | 13.907752     | 24     | -0.016548 |
| 24 | 13.909047     | 25     | -0.015253 |
| 25 | 13.910195     | 26     | -0.014105 |
| 26 | 13.911218     | 27     | -0.013082 |
| 27 | 13.912133     | 28     | -0.012167 |
| 28 | 13.912955     | 29     | -0.011345 |
| 29 | 13.913697     | 30     | -0.010603 |
| 30 | 13.914367     | 31     | -0.009933 |

Tabela (4.2) przedstawia dane zwrócone z działania metody prostokątów dla funkcji (4.24) na przedziale  $[0, 0.8]$ . Początkowo wartość błędu obliczonej całki jest duża, z racji przyjętego kształtu funkcji oraz przyjętego przedziału całkowania. Obie wartości funkcji na krańcach przedziałów są dodatnie oraz leżą bardzo blisko osi odciętych, przez co prostokąt przybliżający funkcję nijak ma się do rzeczywistego kształtu funkcji. Wraz ze zwiększającą się ilością podprzedziałów dokładność przybliżenia znacząco rośnie, aż dla 16 podprzedziałów przyjmują zakładaną dokładność.

### Funkcja trygonometryczna

Tabela 4.2: Dane z iteracji w metodzie prostokątów dla funkcji trygonometrycznej

|    | Wartość całki | l.podp | Błąd      |
|----|---------------|--------|-----------|
| 0  | 1.978716      | 1      | 1.734009  |
| 1  | -1.293375     | 2      | -1.538083 |
| 2  | 1.427055      | 3      | 1.182348  |
| 3  | 0.538234      | 4      | 0.293527  |
| 4  | 0.391699      | 5      | 0.146991  |
| 5  | 0.335697      | 6      | 0.090990  |
| 6  | 0.307385      | 7      | 0.062677  |
| 7  | 0.290809      | 8      | 0.046102  |
| 8  | 0.280172      | 9      | 0.035465  |
| 9  | 0.272899      | 10     | 0.028192  |
| 10 | 0.267689      | 11     | 0.022982  |
| 11 | 0.263820      | 12     | 0.019113  |
| 12 | 0.260863      | 13     | 0.016156  |
| 13 | 0.258550      | 14     | 0.013843  |
| 14 | 0.256705      | 15     | 0.011998  |
| 15 | 0.255209      | 16     | 0.010502  |
| 16 | 0.253978      | 17     | 0.009271  |

### Funkcja mieszana

Tabela (4.2) prezentuje wyniki działania metody prostokątów dla funkcji (4.25) na przedziale  $[0, 2]$ . Na krańcach przedziału całkowania wartości całkowanej funkcji przyjmują wartości dodatnie, przez co prostokąt przybliżający pomija zupełnie ujemnie wartości funkcji, co skutkuje znacznym dodatnim przeszacowaniem funkcji. Z racji bardzo dynamicznie zmieniających się wartości funkcji sytuacja ta powtarza się dla kilku kolejnych iteracji. Wraz z rosnącą ilością podprzedziałów funkcją jest coraz lepiej przybliżana przez funkcję, by przy 133 podprzedziałach przyjąć wartość zadaną dokładnością.

Tabela 4.3: Dane z iteracji w metodzie prostokątów dla złożenia funkcji wielomianowej i trygonometrycznej

|     | Wartość całki | l.podp | Błąd      |
|-----|---------------|--------|-----------|
| 0   | 19.299321     | 1      | 19.690535 |
| 1   | 23.217411     | 2      | 23.608625 |
| 2   | 4.506768      | 3      | 4.897982  |
| 3   | 24.144424     | 4      | 24.535638 |
| 4   | 3.105923      | 5      | 3.497138  |
| *   | *             | *      | *         |
| 129 | -0.401735     | 130    | -0.010521 |
| 130 | -0.401572     | 131    | -0.010358 |
| 131 | -0.401413     | 132    | -0.010199 |
| 132 | -0.401257     | 133    | -0.010043 |
| 133 | -0.401106     | 134    | -0.009891 |

#### 4.1.2. Metoda trapezów

Funkcja implementująca metodę trapezów, przyjmuje dokładnie te same parametry co metoda prostokątów. Pierwszym parametrem jest funkcja podcałkowa, kolejnymi dwoma kolejno górny i dolny przedział całkowania, a ostatnim ilość podprzedziałów, na które dzielimy przedział całkowania. Funkcja zwraca przybliżoną wartość całki.

```

1 def f_trapI(f, a, b, n):
2     """
3     """

```

### Funkcja wielomianowa

Tabela (4.4) przedstawia wyniki uzyskane z działania metody trapezów na funkcji (4.23).

Dla pojedynczego podprzedziału błąd funkcji jest bardzo duży i wynika, z tego, że wartość funkcji dla końcowych argumentów z przedziału gwałtownie rośnie, przez co prosta łącząca krańce przedziału całkowania robi to z dużym nadmiarem. Po podzieleniu podprzedziału na 2, błąd maleje o 1 rząd wielkości, a po kolejnych 3 o kolejny rząd. Do otrzymania zadanej dokładności metoda trapezów potrzebuje 44 podprzedziałów.

Tabela 4.4: Dane z iteracji w metodzie trapezów dla funkcji wielomianowej

|    | Wartość całki | l.podp | Błąd      |
|----|---------------|--------|-----------|
| 0  | 31.315200     | 1      | 17.390900 |
| 1  | 18.579200     | 2      | 4.654900  |
| 2  | 16.018410     | 3      | 2.094110  |
| 3  | 15.107200     | 4      | 1.182900  |
| 4  | 14.682819     | 5      | 0.758519  |
| *  | *             | *      | *         |
| 39 | 13.936159     | 40     | 0.011859  |
| 40 | 13.935586     | 41     | 0.011286  |
| 41 | 13.935054     | 42     | 0.010754  |
| 42 | 13.934558     | 43     | 0.010258  |
| 43 | 13.934095     | 44     | 0.009795  |

### Funkcja trygonometryczna

Tabela (4.5) przedstawia dane uzyskane z metody trapezów na funkcji podcałkowej (4.24). Największy błąd dla tej funkcji pojawia się, gdy ilość podprzedziałów wynosi 3, dzieje się tak dlatego, że wartości funkcji dla granic środkowego podprzedziału przyjmują bardzo niskie wartości, przez co trapez przybliżający funkcję na tym

przedziale pomija całkowice całą dodatnią część sinusiody.

Metoda trapezów przyjmuje wartość z zadaną dokładnością przy ilości podprzedziałów równej 23.

że przy takim podziale każdy prawy kraniec danego podprzedziału znajduje się pod osią odciętych oraz dla każdego punku granicznego wartość funkcji przyjmują niską wartość, co skutkuje tym, że trapezy przybliżające funkcję podcałkową

Tabela 4.5: Dane z iteracji w metodzie trapezów dla funkcji trygonometrycznej

|    | Wartość całki | l.podp | Błąd      |
|----|---------------|--------|-----------|
| 0  | -0.287903     | 1      | -0.532611 |
| 1  | 0.845407      | 2      | 0.600699  |
| 2  | -1.269118     | 3      | -1.513825 |
| 3  | -0.223984     | 4      | -0.468692 |
| 4  | -0.011437     | 5      | -0.256145 |
| 5  | 0.078969      | 6      | -0.165739 |
| 6  | 0.127564      | 7      | -0.117144 |
| 7  | 0.157125      | 8      | -0.087583 |
| 8  | 0.176585      | 9      | -0.068122 |
| 9  | 0.190131      | 10     | -0.054577 |
| 10 | 0.199961      | 11     | -0.044746 |
| 11 | 0.207333      | 12     | -0.037375 |
| 12 | 0.213008      | 13     | -0.031699 |
| 13 | 0.217474      | 14     | -0.027233 |
| 14 | 0.221053      | 15     | -0.023654 |
| 15 | 0.223967      | 16     | -0.020740 |
| 16 | 0.226371      | 17     | -0.018336 |
| 17 | 0.228379      | 18     | -0.016329 |
| 18 | 0.230073      | 19     | -0.014635 |
| 19 | 0.231515      | 20     | -0.013192 |
| 20 | 0.232754      | 21     | -0.011954 |
| 21 | 0.233825      | 22     | -0.010882 |
| 22 | 0.234758      | 23     | -0.009949 |

## Funkcja mieszana

Tabela (4.6) przedstawia wyniki uzyskanie z działania metody trapezów na funkcji (4.25). W pierwszych 4 iteracjach widzimy bardzo rozbieżne wyniki. Funkcja (4.25) zmienia się bardzo dynamicznie na zadanym przedziale, przez co mała liczba podprzedziałów może dawać wyniku zupełnie odbiegające od realnej wartości całki. Do uzyskania zadanej dokładności metoda trapezów potrzebowała 188 podprzedziałów.

Tabela 4.6: Dane z iteracji w metodzie trapezów dla funkcji mieszanej

|     | Wartość całki | l.podp | Błąd      |
|-----|---------------|--------|-----------|
| 0   | 34.492755     | 1      | 34.883969 |
| 1   | 26.896038     | 2      | 27.287252 |
| 2   | 1.374685      | 3      | 1.765899  |
| 3   | 25.056724     | 4      | 25.447939 |
| 4   | -1.163902     | 5      | -0.772688 |
| *   | *             | *      | *         |
| 183 | -0.380849     | 184    | 0.010365  |
| 184 | -0.380962     | 185    | 0.010253  |
| 185 | -0.381072     | 186    | 0.010142  |
| 186 | -0.381181     | 187    | 0.010033  |
| 187 | -0.381288     | 188    | 0.009926  |

### 4.1.3. Metoda Simpsona

```
1 def f_simp2I(f,a,b,n):  
2     """  
3     """
```

Listing 8: Kod w języku python implementujący metodę prostokątów

## Funkcja wielomianowa

Tabela (4.7) przedstawia wyniki uzyskanie z działania metody Simpsona dla funkcji podcałkowej (4.23). Metoda Simpsona potrzebowała 6 podprzedziałów by osiągnąć zadaną dokładność.

Tabela 4.7: Dane z iteracji w metodzie Simpsona dla funkcji wielomianowej

|   | Wartość całki | l.podp | Błąd     |
|---|---------------|--------|----------|
| 0 | 14.333867     | 2      | 0.409567 |
| 1 | 13.949867     | 4      | 0.025567 |
| 2 | 13.929323     | 6      | 0.005023 |

## Funkcja trygonometryczna

Tabela (4.8) przedstawia wyniki uzyskanie z działania metody Simpsona dla funkcji podcałkowej (4.24). Metoda Simpsona potrzebowała 12 podprzedziałów by osiągnąć zadaną dokładność.

Tabela 4.8: Dane z iteracji w metodzie Simpsona dla funkcji trygonometrycznej

|   | Wartość całki | l.podp | Błąd      |
|---|---------------|--------|-----------|
| 0 | 1.223177      | 2      | 0.978469  |
| 1 | -0.580448     | 4      | -0.825156 |
| 2 | 0.528331      | 6      | 0.283623  |
| 3 | 0.284161      | 8      | 0.039454  |
| 4 | 0.257320      | 10     | 0.012613  |
| 5 | 0.250121      | 12     | 0.005413  |

## Funkcja mieszana

Tabela (4.9) przedstawia wyniki uzyskanie z działania metody Simpsona dla funkcji podcałkowej (4.25). Metoda Simpsona potrzebowała 76 podprzedziałów by osiągnąć zadaną dokładność.



Tabela 4.9: Dane z iteracji w metodzie Simpsona dla funkcji mieszanej

|    | Wartość całki | l.podp | Błąd      |
|----|---------------|--------|-----------|
| 0  | 24.363799     | 2      | 24.755013 |
| 1  | 24.443620     | 4      | 24.834834 |
| 2  | 3.462740      | 6      | 3.853954  |
| 3  | 24.448524     | 8      | 24.839738 |
| 4  | 1.682648      | 10     | 2.073863  |
| *  | *             | *      | *         |
| 33 | -0.406964     | 68     | -0.015750 |
| 34 | -0.404972     | 70     | -0.013757 |
| 35 | -0.403293     | 72     | -0.012078 |
| 36 | -0.401868     | 74     | -0.010654 |
| 37 | -0.400653     | 76     | -0.009438 |

#### 4.1.4. Metoda Gaussa Legendre’a

```

1 def f_gauss_legrande(f,a,b,n):
2     """
3     """

```

Listing 9: Kod w języku python implementujący metodę trapezów

#### Funkcja wielomianowa

Tabela (4.10) przedstawia wyniki uzyskanie z działania metody Gaussa Legendre’a dla funkcji podcałkowej (4.23). Funkcja , dla której liczona jest całka jest wielomianem stopnia 5, a metoda Gaussa Legendre’a daje wynik dokładny dla wielomianów stopnia  $2n - 1$ , dlatego do uzyskania zadanej dokładności metoda potrzebowała 3 węzłów interpolacyjnych. Uzyskany błąd wynika z zaokrągleń.

Tabela 4.10: Dane z iteracji w metodzie Gauss’a Legendre’a dla funkcji wielomianowej

|   | Wartość całki | l.podp | Błąd      |
|---|---------------|--------|-----------|
| 0 | 5.843200      | 1      | -8.081100 |
| 1 | 13.651200     | 2      | -0.273100 |
| 2 | 13.924267     | 3      | -0.000033 |

### funkcja trygonometryczna

Tabela (4.11) przedstawia wyniki uzyskanie z działania metody Gaussa Legendre’a dla funkcji podcałkowej (4.24). Całkowana funkcja nie jest wielomianem, więc uzyskanie dokładnej wartości przy użyciu metody Gaussa jest niemożliwe, lecz jej kształt sprawia, że daje się ona łatwo przybliżyć, przy użyciu wielomianów, co skutkuje, że do uzyskania zakładanej dokładności kwadratura Gaussa potrzebowała 7 węzłów interpolacyjnych.

Tabela 4.11: Dane z iteracji w metodzie Gauss’a Legendre’a dla funkcji trygonometrycznej

|   | Wartość całki | l.podp | Błąd      |
|---|---------------|--------|-----------|
| 0 | 1.978716      | 1      | 1.734009  |
| 1 | -0.184912     | 2      | -0.429619 |
| 2 | 1.974615      | 3      | 1.729907  |
| 3 | -0.611561     | 4      | -0.856269 |
| 4 | 0.456455      | 5      | 0.211748  |
| 5 | 0.212634      | 6      | -0.032073 |
| 6 | 0.248022      | 7      | 0.003315  |

### Funkcja mieszana

Tabela (4.12) przedstawia wyniki uzyskanie z działania metody Gaussa Legendre’a dla funkcji podcałkowej (4.25). Do uzyskania zakładanej dokładności metoda potrzebowała 30 węzłów interpolacyjnych.

Tabela 4.12: Dane z iteracji w metodzie Gauss’a Legendre’a dla funkcji mieszanej

|    | Wartość całki | l.podp | Błąd       |
|----|---------------|--------|------------|
| 0  | 19.299321     | 1      | 19.690535  |
| 1  | -24.723636    | 2      | -24.332421 |
| 2  | 21.272072     | 3      | 21.663286  |
| 3  | -1.592403     | 4      | -1.201189  |
| 4  | 9.728832      | 5      | 10.120047  |
| *  | *             | *      | *          |
| 25 | -2.358643     | 26     | -1.967429  |
| 26 | 0.285786      | 27     | 0.677001   |
| 27 | -0.581395     | 28     | -0.190180  |
| 28 | -0.348563     | 29     | 0.042651   |
| 29 | -0.398152     | 30     | -0.006938  |

#### 4.1.5. Metoda adaptacyjna trapezów

```

1 def f_adapt(f,ax,bx,tol):
2     """
3     """

```

Listing 10: Kod w języku python implementujący metodę trapezów

#### Funkcja wielomianowa

Tabela (4.13) przedstawia wyniki uzyskanie z działania metody Adaptacyjnej Trapezów dla funkcji podcałkowej (4.23). Pomimo tego, że błąd nie jest mniejszy niż zakładana tolerancja, to obie te wartości zmniejszają się razem, oraz mają taki sam rząd wielkości.

Tabela 4.13: Dane z iteracji w metodzie Adaptacyjnej Trapezów dla funkcji wielomianowej

|    | Wartość całki      | l.wywołań funkcji | Tol             | Błąd                     |
|----|--------------------|-------------------|-----------------|--------------------------|
| 0  | 14.087879687500003 | 7                 | 0.1             | -0.16357968750000218     |
| 1  | 13.95071159667969  | 21                | 0.01            | -0.026411596679690064    |
| 2  | 13.92913151855469  | 47                | 0.001           | -0.004831518554690106    |
| 3  | 13.925455606651312 | 97                | 0.0001          | -0.0011556066513112029   |
| 4  | 13.925455606651312 | 207               | 0.00001         | -0.00026474552704236487  |
| 5  | 13.924337389287741 | 441               | 0.000001        | -0,0000373892877405523   |
| 6  | 13.924280646049143 | 999               | 0.0000001       | 0,0000193539508579476    |
| 7  | 13.92426944676001  | 2207              | 0.00000001      | 0,000030553239991348846  |
| 8  | 13.924267226688606 | 4811              | 0.000000001     | 0,0000327733113945072    |
| 9  | 13.92426678139501  | 10345             | 0.0000000001    | 0,00003321860499028162   |
| 10 | 13.924266690629675 | 22017             | 0.00000000001   | 0,0000333093703250853    |
| 11 | 13.924266671787425 | 46421             | 0.000000000001  | 0,000033328212575511884  |
| 12 | 13.924266667844629 | 98387             | 0.0000000000001 | 0,000033332155371823546e |

## Funkcja trygonometryczna

Tabela (4.14) przedstawia wyniki uzyskanie z działania metody Adaptacyjnej Trapezów dla funkcji podcałkowej (4.24).

Tabela 4.14: Dane z iteracji w metodzie Adaptacyjnej Trapezów dla funkcji trygonometrycznej

|    | Wartość całki       | l.podprzedziałów | Tol             | Błąd                       |
|----|---------------------|------------------|-----------------|----------------------------|
| 0  | 0.275097393643396   | 12               | 0.1             | -0.030389958602972944      |
| 1  | 0.22651620332825226 | 26               | 0.01            | 0.018191231712170824       |
| 2  | 0.24356462655643027 | 54               | 0.001           | 0.0011428084839928132      |
| 3  | 0.24428699646689261 | 116              | 0.0001          | 0.0004204385735304683      |
| 4  | 0.24464360546255373 | 234              | 0.00001         | 0.00006382957786935095     |
| 5  | 0.24468621101711638 | 476              | 0.000001        | 0,000021224023306704       |
| 6  | 0.24470234198590066 | 964              | 0.0000001       | 0,00000509305452242592     |
| 7  | 0.2447062019886146  | 1952             | 0.00000001      | 0,000000233051808491314    |
| 8  | 0.24470726279412686 | 5571             | 0.000000001     | 0,000000172246296226141    |
| 9  | 0.24468621101711638 | 12406            | 0.0000000001    | 0,0000000326823607066373   |
| 10 | 0.24470742830603642 | 26536            | 0.00000000001   | 0,00000000673438665943493  |
| 11 | 0.24470743356253416 | 55622            | 0.000000000001  | 0,00000000147788892235212  |
| 12 | 0.24470743470247994 | 115119           | 0.0000000000001 | 0,000000000337943145689578 |

## Funkcja Mieszana

Tabela (4.15) przedstawia wyniki uzyskanie z działania metody Adaptacyjnej Trapezów dla funkcii podcałkowej (4.25). Pierwsze dwa wiersze pokazują, że wybrana tolerancja była za niska, przez co różnica między ...

Tabela 4.15: Dane z iteracji w metodzie Adaptacyjnej Trapezów dla mieszanej

|   | Wartość całki        | l.podprzedziałów | Tol             | Błąd                        |
|---|----------------------|------------------|-----------------|-----------------------------|
| 0 | 24.600573893413245   | 8                | 0.1             | -24.991788285813243         |
| 1 | 24.48676522929313    | 16               | 0.01            | -24.87797962169313          |
| 2 | -0.3890086285875674  | 348              | 0.001           | -0.002205763812432593       |
| 3 | -0.39122911295283574 | 730              | 0.001           | 0,0000147205528357452       |
| 4 | -0.3911766447096509  | 1668             | 0.0001          | -0,000037747690349088       |
| 5 | -0.39121114244467226 | 3672             | 0.000001        | -0,0000032499553277443      |
| 5 | -0.3912134512999535  | 8002             | 0.0000001       | -0,000000941100046503162    |
| 5 | -0.3912144949244205  | 17382            | 0.00000001      | 0,000000102524420508842     |
| 5 | -0.39121432883709883 | 37406            | 0.000000001     | -0,0000000635629011647154   |
| 5 | -0.39121436591934805 | 79592            | 0.0000000001    | -0,0000000264806519489901   |
| 5 | -0.3912143852443817  | 168138           | 0.00000000001   | -0,00000000715561832009825  |
| 5 | -0.39121439104440364 | 354248           | 0.000000000001  | -0,00000000135559635738857  |
| 5 | -0.391214392291324   | 754420           | 0.0000000000001 | -0,000000000108676012633424 |

#### 4.1.6. Metoda Crude Monte Carlo

```

1 def f_crudeMonteC(f,a,b,n):
2     """
3     """

```

Listing 11: Kod w języku python implementujący metodę Crude Monte Carlo

#### Funkcja wielomianowa

W tabeli (4.16) przedstawiono wyniki uzyskanie z działania metody Crude Monte Carlo dla funkcji podcałkowej (4.23). Otrzymany błąd dla jednego podprzedziału może wydawać, się zaskakująco mały, lecz trzeba wziąć pod uwagę, że otrzymany błąd jest średnim błędem dla 100 iteracji. Dla jednego podprzedziału wartości całki może wahać się od 1.2 do 61.5103. Wraz ze zwiększaniem ilości punktów, różnica między otrzymanymi rezultatami maleje.

Tabela 4.16: Dane z iteracji w metodzie Crude Monte Carlo dla funkcji wielomianowej

| Row | Points | minValue    | maxValue    | AVG       | Błąd   |
|-----|--------|-------------|-------------|-----------|--------|
| 1   | 1      | 1.416807038 | 60.99560428 | 11.987235 | 13.91% |
| 1   | 10     | 2.70581996  | 26.80458791 | 13.662372 | 1.88%  |
| 2   | 100    | 10.89037611 | 19.49690441 | 13.98955  | 0.47%  |
| 3   | 1000   | 12.37476196 | 14.94271099 | 13.941598 | 0.12%  |
| 4   | 10000  | 13.61746918 | 14.30824118 | 13.906282 | 0.13%  |
| 5   | 100000 | 13.76707602 | 14.03293431 | 13.922587 | 0.01%  |

### Funkcja trygonometryczna

Tabela (4.17) przedstawia wyniki uzyskanie z działania metody Crude Monte Carlo dla funkcji podcałkowej (4.24).

Tabela 4.17: Dane z iteracji w metodzie Crude Monte Carlo dla funkcji trygonometrycznej

| Row | Points | minValue      | maxValue     | AVG      | Błąd   |
|-----|--------|---------------|--------------|----------|--------|
| 1   | 1      | -1.999712843  | 1.999075162  | 0.438109 | 79.03% |
| 1   | 10     | -0.6383128719 | 1.133784472  | 0.190505 | 22.15% |
| 2   | 100    | -0.1079735697 | 0.5645576157 | 0.261066 | 6.68%  |
| 3   | 1000   | 0.1529912591  | 0.3583314798 | 0.246922 | 0.9%   |
| 4   | 10000  | 0.2148820935  | 0.2831131619 | 0.243623 | 0.44%  |
| 5   | 100000 | 0.2349722501  | 0.2594303218 | 0.244408 | 0.12%  |

### Funkcja mieszana

Tabela (4.18) przedstawia wyniki uzyskanie z działania metody Crude Monte Carlo dla funkcji podcałkowej (4.25).

Tabela 4.18: Dane z iteracji w metodzie Crude Monte Carlo dla funkcji mieszanej

| Row | Points | minValue      | maxValue      | AVG       | Błąd    |
|-----|--------|---------------|---------------|-----------|---------|
| 1   | 1      | -75,88135548  | 70,53226069   | -0,72964  | 86,51%  |
| 1   | 10     | -17,35749749  | 23,67292102   | 0,835416  | 313,54% |
| 2   | 100    | -7,861843157  | 6,365066445   | -0,120759 | 69,13%  |
| 3   | 1000   | -2,55727966   | 1,319625489   | -0,444351 | 13,58%  |
| 4   | 10000  | -0,971935441  | 0,1712562312  | -0,268886 | 31,27%  |
| 5   | 100000 | -0,5748109835 | -0,1730718027 | -0,387912 | 0,84%   |

#### 4.1.7. Metoda Monte Carlo

```

1 def f_MonteC(f,a,b,n):
2     """
3     """

```

Listing 12: Kod w języku python implementujący metodę Monte Carlo

#### Funkcja wielomianowa

Tabela (4.19) przedstawia wyniki uzyskanie z działania metody Monte Carlo dla funkcji podcałkowej (4.23).

Tabela 4.19: Dane z iteracji w metodzie Monte Carlo dla funkcji wielomianowej

| Row | Points | minValue    | maxValue    | AVG       | Błąd   |
|-----|--------|-------------|-------------|-----------|--------|
| 1   | 10     | 1,853055156 | 26,60291651 | 11,033428 | 20,76% |
| 2   | 100    | 6,629125753 | 18,74562867 | 12,657178 | 9,1%   |
| 3   | 1000   | 10,92932294 | 14,48626121 | 12,808812 | 8,01%  |
| 4   | 10000  | 12,17390193 | 13,47542511 | 12,777447 | 8,24%  |
| 5   | 100000 | 12,649035   | 12,98188584 | 12,806892 | 8,02%  |

#### Funkcja trygonometryczna



Tabela (4.20) przedstawia wyniki uzyskanie z działania metody Monte Carlo dla funkcji podcałkowej (4.24).

Tabela 4.20: Dane z iteracji w metodzie Monte Carlo dla funkcji trygonometrycznej

| Row | Points | minValue     | maxValue    | AVG      | Błąd   |
|-----|--------|--------------|-------------|----------|--------|
| 1   | 10     | -1,928549934 | 1,816778457 | 0,211325 | 13,64% |
| 2   | 100    | -2,098836469 | 2,203746727 | 0,215333 | 12%    |
| 3   | 1000   | -2,393655983 | 2,760053799 | 0,243658 | 0,43%  |
| 4   | 10000  | -3,115304313 | 3,196864709 | 0,243453 | 0,51%  |
| 5   | 100000 | -2,799281898 | 3,260480744 | 0,243275 | 0,59%  |

## Funkcja mieszana

Tabela (4.21) przedstawia wyniki uzyskanie z działania metody Monte Carlo dla funkcji podcałkowej (4.25).

Tabela 4.21: Dane z iteracji w metodzie Monte Carlo

| Row | Points | minValue     | maxValue     | AVG      | Błąd    |
|-----|--------|--------------|--------------|----------|---------|
| 1   | 10     | -46,77325439 | 40,46954926  | 0,211325 | 372,91% |
| 2   | 100    | -12,15794381 | 12,4224293   | 0,215333 | 233,95% |
| 3   | 1000   | -3,949010731 | 3,668428085  | 0,243658 | 321,02% |
| 4   | 10000  | -2,042774011 | 1,116976784  | 0,243453 | 272,37% |
| 5   | 100000 | -0,909748384 | 0,1396221061 | 0,243275 | 249,45% |

## 5. Podsumowanie i wnioski końcowe

1 ÷ 3 stron merytorycznie podsumowanie najważniejszych elementów pracy oraz wnioski wynikające z osiągniętego celu pracy. Proponowane zalecenia i modyfikacje oraz rozwiązania będące wynikiem realizowanej pracy.

Ostatni akapit podsumowania musi zawierać wykaz własnej pracy dyplomanta i zaczynać się od sformułowania: „Autor za własny wkład pracy uważa: ...”.

## Załączniki

Według potrzeb zawarte i uporządkowane uzupełnienie pracy o dowolny materiał źródłowy (wydruk programu komputerowego, dokumentacja konstrukcyjno-technologiczna, konstrukcja modelu – makiety – urządzenia, instrukcja obsługi urządzenia lub stanowiska laboratoryjnego, zestawienie wyników pomiarów i obliczeń, informacyjne materiały katalogowe itp.).

## Literatura

- [1] [https://en.wikipedia.org/wiki/Numerical\\_integration](https://en.wikipedia.org/wiki/Numerical_integration)
- [2] <https://en.wikipedia.org/wiki/Newton>
- [3] Willie Aboumrad, CME 108/MATH 114 Introduction to Scientific Computing
- [4] <https://www.cs.mcgill.ca/>
- [5] Abramovitz, Milton; I. Stegun (1964). Handbook of mathematical functions. National Bureau of Standards. ISBN 0-486-61272-4.
- [6] Numerical Methods for Engineers, 6th Ed
- [7] <https://www.mimuw.edu.pl/~leszekp/dydaktyka/MO19L-g/adaptn.pdf>
- [8] <https://www.math.usm.edu/lambers/mat460/fall09/lecture30.pdf>
- [9] <https://home.agh.edu.pl/~zak/downloads/wyk5.pdf>
- [10] <http://www.algorytm.org/procedury-numeryczne/calkowanie-numeryczne-metoda-monte-carlo-ii.html>
- [11] <http://www.algorytm.org/procedury-numeryczne/calkowanie-numeryczne-metoda-monte-carlo-i.html>
- [12] <http://weii.portal.prz.edu.pl/pl/materialy-do-pobrania>. Dostęp 5.01.2015.
- [13] Jakubczyk T., Klette A.: Pomiary w akustyce. WNT, Warszawa 1997.
- [14] Barski S.: Modele transmitancji. Elektronika praktyczna, nr 7/2011, str. 15-18.
- [15] Czujnik S200. Dokumentacja techniczno-ruchowa. Lumel, Zielona Góra, 2001.
- [16] Pawluk K.: Jak pisać teksty techniczne poprawnie, Wiadomości Elektrotechniczne, Nr 12, 2001, str. 513-515.

**STRESZCZENIE PRACY DYPLOMOWEJ INŻYNIERSKIEJ**

**ANALIZA I INTERPRETACJA WYBRANYCH METOD  
CAŁKOWANIA NUMERYCZNEGO**

Autor: Kamil Madej, nr albumu: 161876

Opiekun: (dr. inż) Mariusz Borkowski (prof. PRz)

Słowa kluczowe: (max. 5 słów kluczowych w 2 wierszach, oddzielanych przecinkami)

Treść streszczenia po polsku

**BSC THESIS ABSTRACT**

**TEMAT PRACY PO ANGIELSKU**

Author: Kamil Madej, nr albumu: 161876

Supervisor: (academic degree) Imię i nazwisko opiekuna

Key words: (max. 5 słów kluczowych w 2 wierszach, oddzielanych przecinkami)

Treść streszczenia po angielsku